

# Detección de defectos con Deep Learning en imágenes industriales tomadas con rayos X

TFG, Ingeniería Electrónica de Comunicaciones

Pablo Suárez<sup>1,2</sup>

<sup>1</sup>Universidad Complutense de Madrid

<sup>2</sup>Facultad de Ciencias Físicas, <sup>3</sup>DACyA



Supervisores: Maria José Gómez Silva<sup>1,2,3</sup> y Jesús Chacón Sombría<sup>1,2,3</sup>

21 de abril de 2024

- 1 Introducción
- 2 Motivación, objetivos y procedimiento
- 3 *Deep Learning* y redes neuronales
- 4 Diferencia entre objetos y defectos
- 5 Faster R-CNN
- 6 Resultados
- 7 Conclusiones y trabajo a futuro

# 1. Introducción

¿**Finalidad** de este TFG?

- Detección de **defectos** → ¿dónde? → en imágenes de **radiografías** de piezas industriales.

¿**Cómo**?

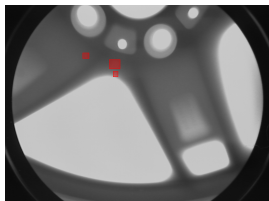
- Con la ayuda del *Deep Learning*.

**Herramientas:**

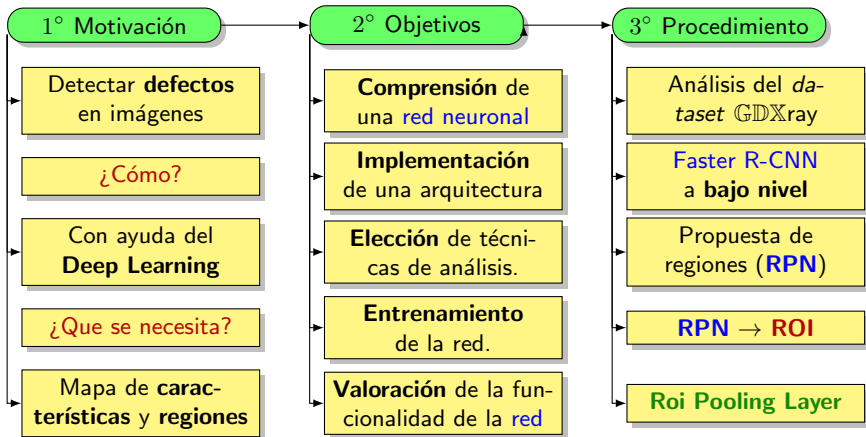
- Python → pandas, numpy, torchvision, PIL, matplotlib, *TensorFlow* y *Keras*.

¿Por qué es **relevante**?

- Puede ahorrar tiempo y dinero.
- Rapidez.
- Precisión.



## 2. Motivación, objetivos y procedimiento



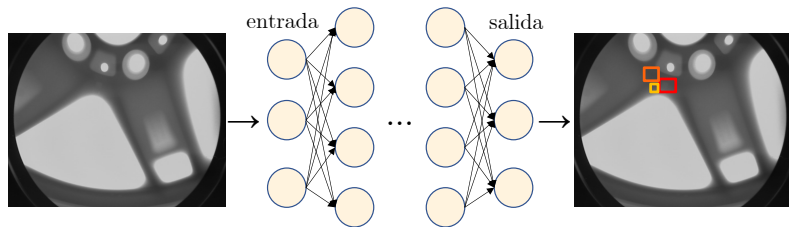
## 3.1. El *Deep Learning* para la detección de defectos

### 1. ¿Qué es el *Deep Learning*?

- Técnica de **IA** que utiliza **redes neuronales** → analizar imágenes y localizar defectos/objetos.
- *Deep Learning*  $\subset$  *Machine Learning*.
- ¿Cómo aprende? → reconociendo **patrones** y **características** en las imágenes.

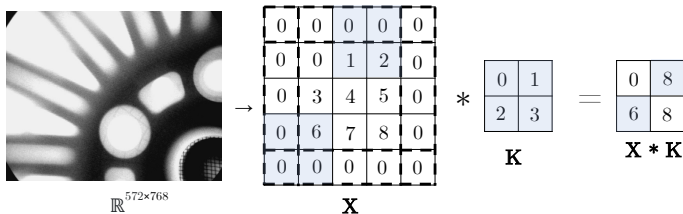
### 2. Cualidades del *Deep Learning*:

- Herramienta **óptima** para → **TAREAS REITERATIVAS**.
- Tras un **largo entrenamiento** con **muchos datos** → **precisión**.



## 3.2. Redes neuronales convolucionales

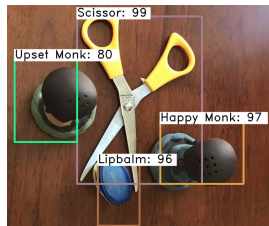
- Varios **tipos** de **redes neuronales**.
- ¿Por qué una red **convolucional**? → extracción de su **MAPA DE CARACTERÍSTICAS**.
  - ¿**Cómo**? con la **convolución** →  $p(x) = \mathbf{w} * \mathbf{X} = \sum_{a=-s}^s \mathbf{w}(a)\mathbf{X}(x-a)$
  - $\mathbf{X} \in \mathbb{R}^{n \times m}$  representa la imagen de entrada,  $\mathbf{w} \in \mathbb{R}^i$  representa los pesos y  $s$  viene determinada por el tamaño del filtro y representa el *stride*



## 4. Diferencia entre objetos y defectos.

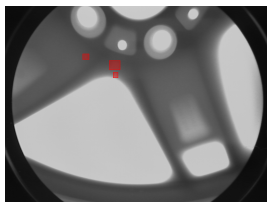
### Objetos

- **Grandes** proporciones,  $\frac{\text{size(objeto)}}{\text{size(imagen)}} \in (0,4 - 1)$
- Siluetas o formas características.
- **Policromáticos**.
- **Gran** variedad de modelos **pre-entrenados** y bases de datos.



### Defectos

- Suelen ser **pequeños**,  $\frac{\text{size(objeto)}}{\text{size(imagen)}} \in (0,01 - 0,15)$
- **Amorfos**.
- **Monocromáticos**.
- **Pocos** modelos y **pocas** bases de datos.
- Clasificación **BINARIA**.



**Similitudes:** ambas tareas de **detección** → **COMPLEJAS** ∴ esto requiere de estructuras de red **MÁS COMPLEJAS**.

## 5.1. Faster R-CNN, introducción

¿Qué implica extraer **características** y **proponer regiones**?

- Debido a su **complejidad** → dividir la tarea en **capas**.
- ( $\uparrow$  **capas**) → ( $\uparrow$  **complejidad** de la arquitectura) → **más control**.
- ¿Solución? → **Faster R-CNN**

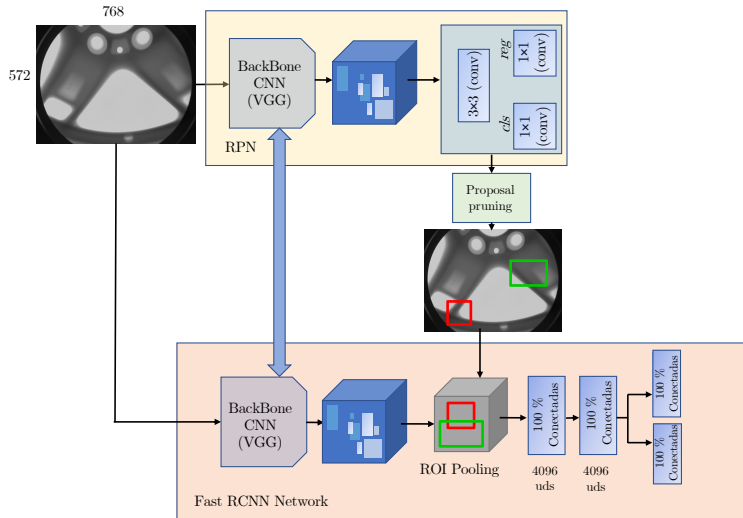
¿Por qué la **Faster R-CNN**?

- Arquitectura orientada a la detección de objetos → **MUY COMÚN**.
- En [RHGS15] → **mAP**  $\in$  (75 – 99) [%]
- **Mayor  $\eta$**  respecto a la **R-CNN** y a la **Fast R-CNN**.
- Esta arquitectura extrae **características** y **propone regiones**.



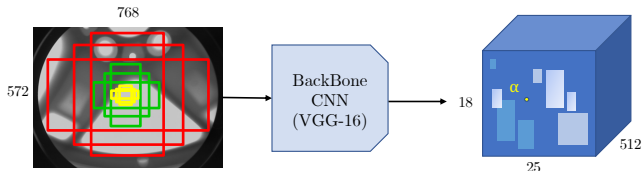
## 5.2. Componentes de la *Faster R-CNN*

La arquitectura de la **Faster R-CNN** es la siguiente:



### 5.3. El *backbone*: la VGG-16

- Es el **corazón** de la **Faster R-CNN** → **VGG-16**.
- ¿Por qué la **VGG-16**? →  $\varepsilon_{cls} = 7,32\%$  y  $\varepsilon_{loc} = 25,32\%$ .
- **stride** = 16.
- Encuadrada dentro de la **RPN**.
- Función **principal** → extracción del **mapa de características**.
- ¿**Cómo**? →  $(\mathbb{R}^{300 \times 400} * \mathbb{R}_i^{3 \times 3})|_{i=(1,\dots,512)} \rightarrow$  característica de menor dimensión.
- **M.C**  $\in \mathbb{R}^{18 \times 25 \times 512}$



## 5.3. Anchors

- Disposición de **anchors** para cada punto del **mapa de características**.
- ¿Para qué? → Para saber si hay o no **defectos**.
- $\uparrow$  **stride** →  $\#anchors \downarrow$
- Si  $\text{pos} \in \text{M.C} \mid \text{pos} \in \mathbb{R}^{18 \times 25 \times 9} \rightarrow 4050$  **anchors** en total.
- Inicialmente → **anchors negativos**.
- Dependiendo de la **IoU**:
  - **anchor negativo**.
  - **anchor positivo**.
  - **anchor descartado**.

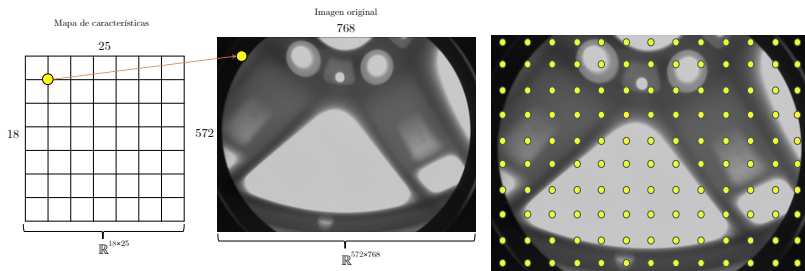
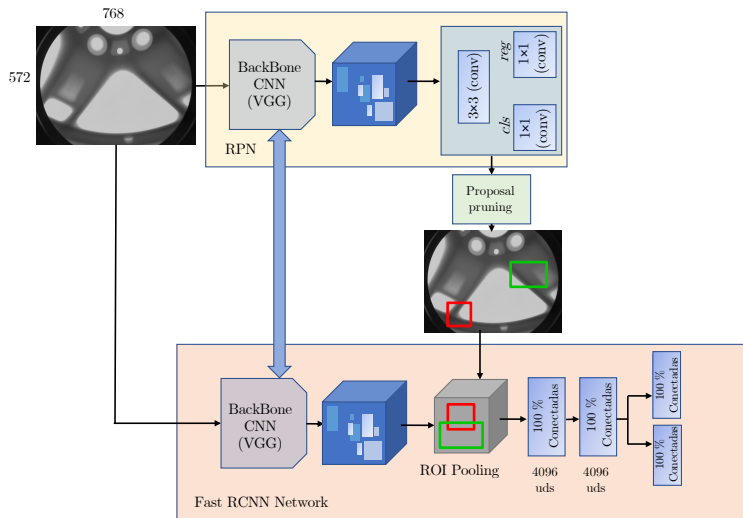


Figura: Dinámica de disposición de los *anchors*.

# Arquitectura de la *Faster R-CNN*



## 5.4. Propuesta de regiones (RPN)

1. Una vez se tienen:

- El **mapa de características**.
- Los **anchors** posicionados.

2. Cada **posición** de la ventana móvil  $\rightarrow$  **PROPUESTAS DE REGIONES**

3. La red se desplaza por cada **píxel** del **M.C**  $\rightarrow$  **defecto** ✓ o **defecto** ✗

4. ¿Cómo se comprueba?  $\rightarrow \text{IoU} = J(\mathbf{A}, \mathbf{B}) = \frac{|\mathbf{A} \cap \mathbf{B}|}{|\mathbf{A} \cup \mathbf{B}|}$

5. Capas de **reg** y **cls**:

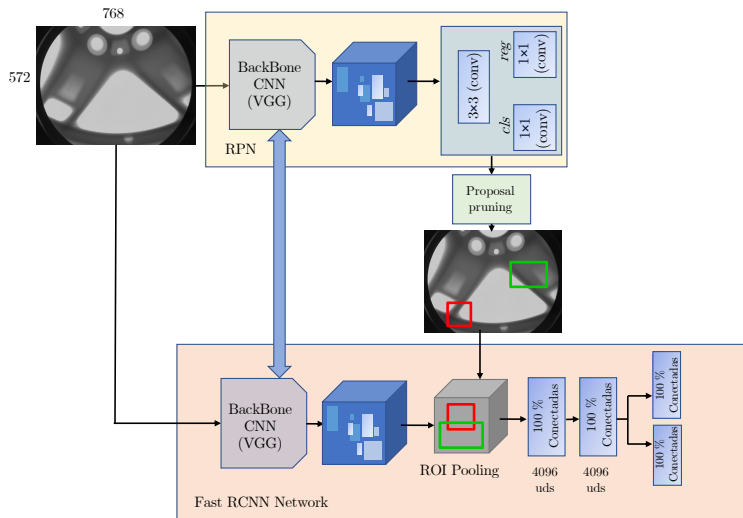
- Etapa **reg**  $\rightarrow$  perfecciona las **coordenadas**.

►  $y_{\text{rpn\_regr}} \in \mathbb{R}^{1 \times 18 \times 25 \times 72}$ .

- Etapa **cls**  $\rightarrow \text{Prob}(\text{defecto } \checkmark)$

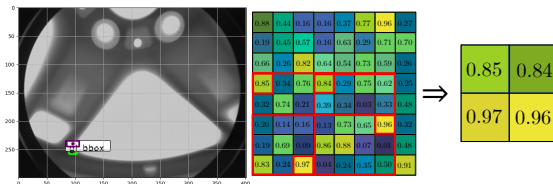
►  $y_{\text{rpn\_cls}} \in \mathbb{R}^{1 \times 18 \times 25 \times 18}$ .

# Arquitectura de la *Faster R-CNN*



## 5.5. ROI pooling

- Una vez se tiene:
  - **Propuesta de regiones** ✓
  - **Probabilidades** correspondientes ✓
- ¿Siguiente paso? → transformar las **propuestas de regiones** en **ROIs**.
- ¿Para qué? → de los **ROIs** → elementos representables → **bounding boxes**.
- ¿Cómo? → `rpn_to_roi`
  - Re-escalado de *anchors*.
  - Regresión.
- **ROIpooling**
  - Procesa **ROIs** → tamaño específico, con → max pooling.
  - Etapa cls → **tamaño fijo**.
  - **coordenadas** ∈ **M.C** → **coordenadas** ∈ **img**
  - ¿Salida? → **clases** y **mejores coordenadas**.



## 5.6. Entrenamiento

■ ¿Conjunto muestral? → repositorio [GDXray](#) → 2727 imágenes.

■ Parámetros más influyentes:

- ↑ **profundidad** de la red → ↓ **resolución M.C.**
- ↑ **#imágenes** → ↓ **sobre-ajuste.**
- ↑ **#rois** → ↑ **desbalance.**
- ↑ **# $_{max, BB}$**  → ↓ **filtrado.**
- ↑ **resolución** → ↑ **representación de defectos.**

■ Métricas

• 4 funciones de pérdidas.

- ▶ `loss_rpn_cls` → resultado de clasificación del modelo RPN.
- ▶ `loss_rpn_regr` → resultado de la regresión del modelo RPN.
- ▶ `loss_class_cls` → resultado de clasificación del modelo clasificador.
- ▶ `loss_class_regr` → resultado de regresión del modelo clasificador.

• **mAP:**

- ▶ ¿Cuánta precisión? → **IoU**
- ▶ **mAP** = `cmp(umbral(IoU), IoU)`.



## 6.1. Resultados del entrenamiento

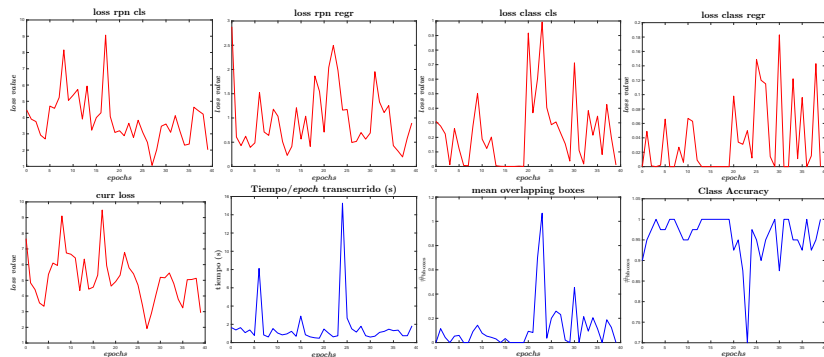


Figura: Resultados del primer entrenamiento.

## 6.1. Resultados del entrenamiento

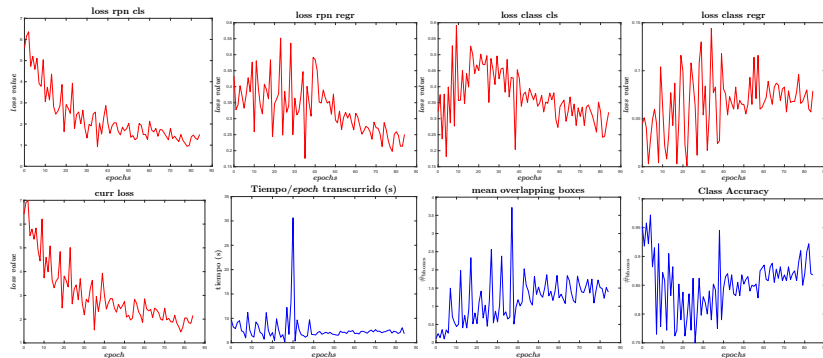


Figura: Resultados del cuarto entrenamiento.

■ **mAP** = 0  $\forall$  entrenamientos.

## 6.2. Regiones propuestas por la red

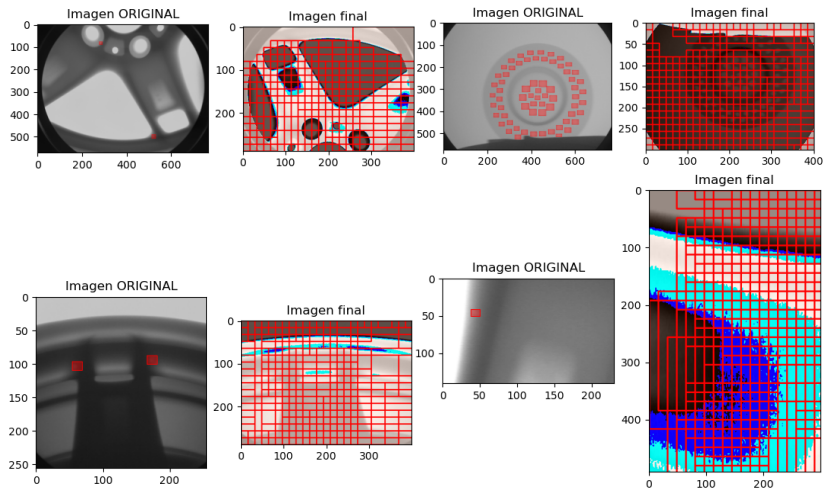


Figura: Algunas propuestas de regiones para algunas imágenes

## 7.1. Conclusiones

- Una **baja profundidad** → ~~asegura~~ **TODOS LOS DEFECTOS.**
- Tarea de naturaleza **desbalanceada** →  $\text{reg}(\times \text{ defectos}) > \text{reg}(\checkmark \text{ defectos})$
- La red **COLAPSA** → **NO APRENDE.**
- **Comprensión** al detalle → causas de un mal aprendizaje.
- En **RPN**, los parámetros más importantes → **escalas, resoluciones.**
- **Buen** entrenamiento si:
  - **Buen** mapa de características.
  - Conjunto muestral **grande.**
  - **Determinismo**

## 7.2. Trabajo a futuro

- $\uparrow$  Resolución y  $\uparrow$  conjunto muestral.
- *Transfer Learning*  $\rightarrow$  reciclar modelos pre-entrenados.
- Mask R-CNN  $\rightarrow$  (+1) capa de segmentación  $\rightarrow$  +PRECISIÓN.
- FPN  $\rightarrow$  múltiples mapas de características.

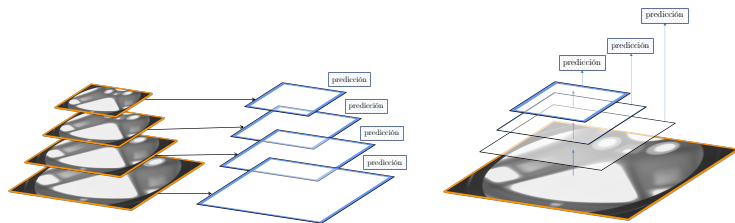


Figura: Dinámica de la FPN.

Gracias por su atención.

**¿Preguntas?**

Pablo Suárez Reyero

`pasuar03@ucm.es`

`https://github.com/jcsombria/tfg-psr`

# Propuesta de regiones (RPN)

1. Una vez se tienen:

- El **mapa de características**.
- Los **anchors** posicionados.

2. Cada **posición** de la ventana móvil → **PROPUESTAS DE REGIONES**

3. La red se desplaza por cada **píxel** del **M.C** → defecto ✓ o defecto ✗

4. ¿Cómo se comprueba? →  $IoU = J(A,B) = \frac{|A \cap B|}{|A \cup B|}$

5. Inicialmente → **anchors negativos**.

- Si  $IoU < 0.3$  → **anchor negativo**.
- Si  $IoU > 0.7$  → **anchor positivo**.
- Si  $0.3 < IoU < 0.7$  → **anchor descartado**.

6. Capas de **reg** y **cls**:

- Etapa **reg** → perfecciona las **coordenadas**.
- Etapa **cls** →  $Prob(\text{defecto } \checkmark)$

## Mean Average Precision (mAP)

### mAP:

- ¿Cuánta precisión?  $\rightarrow$  **IoU**
- $\text{umbral}(\text{IoU}) < \text{IoU} \rightarrow \text{TP} \rightarrow \text{mAP}$
- $\text{umbral}(\text{IoU}) > \text{IoU} \rightarrow \text{FP} \rightarrow \text{mAP}$
- $\uparrow \text{umbral}(\text{IoU}) \rightarrow \text{FP} \downarrow \rightarrow \text{precisión} \uparrow \rightarrow \text{recall} \downarrow$  (se pierden detecciones)
- $\downarrow \text{umbral}(\text{IoU}) \rightarrow \text{FP} \uparrow \rightarrow \text{precisión} \downarrow$

$$\text{Recall} = \frac{TP}{TP+FN}$$